

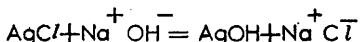
# ΚΙΝΗΤΙΚΗ ΜΕΤΑΚΑΘΙΣΗΣ ΑgCl → AgOH

‘Υπό τού κ. Γ. ΣΒΑΜΠ, Καθηγητού Ε.Μ.Π. και Πανεπιστημίου Μονάχου  
και τών κ. κ. Δ. Γ. ΣΑΡΑΝΤΙΤΗ και Χ. ΚΕΡΚΥΡΑ, Χημικών Μηχανικών (\*)

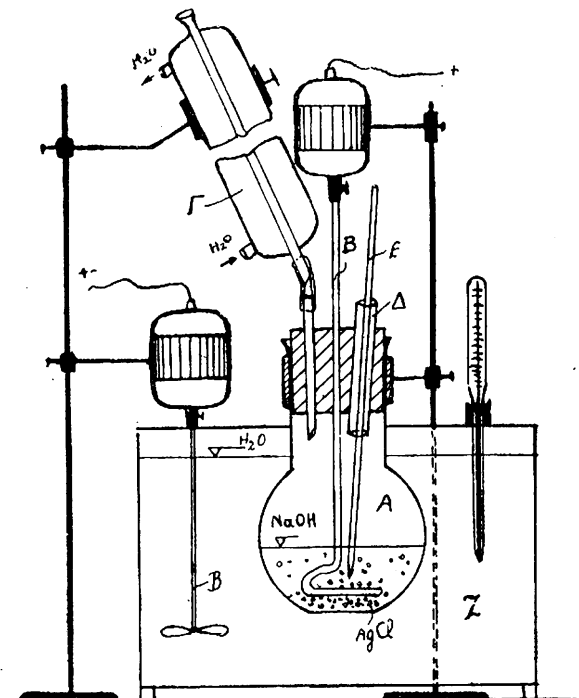
## ΕΡΓΑΣΤΗΡΙΑ ΦΥΣΙΚΟΧΗΜΕΙΑΣ ΚΑΙ ΕΦΗΡΜΟΣΜΕΝΗΣ ΗΛΕΚΤΡΟΧΗΜΕΙΑΣ Ε. Μ. ΠΟΛΥΤΕΧΝΕΙΟΥ

### Είσαγωγή.

Σκοπός της παρούσης έργασίας είναι ή μελέτη τής ταχύτητος και ή άποκαλύψις του μηχανισμού τής κατασθίξης έτερογενούς άντιδρασεως μετακαθίξησεως:



Η χρησιμοποιηθείσα συσκευή είναι ή τον Σχ. 1.



Σχ. 1

A = εύρυτομος σφαιρική φιάλη (250 cm<sup>3</sup>)

B = άναθετήρη

Γ = κάθετος ψυκτήρη

Δ = σωληνόσκος είσαγωγής άντιδραστηρίων

Ε = σφώνων διεγματοληψίας

Z = θύρωρος θερμοστάτου.

Ο χρησιμοποιηθείς AgCl παρεσκευάσθη διά κατακρημνίσεως ἐκ κεκροβολών διαλύματων χημικών καθαρών AgNO<sub>3</sub> και NaCl.

Ἐπί μέρους ἔξι αὐτοῦ ἐτελέσθη κοκκομετρική άναλυσις διά προτύπων κοσκίνων διαμέτρου ὅπης 1, 0,5, 0,2, 0,1, 0,075, 0,06 mm.

Τὰ χρησιμοποιηθέντα διαλύματα ήσαν α) NaOH 0,1, 0,5, 1, 2, 3, 10N. β) CH<sub>3</sub>COOH N/2. γ) AgNO<sub>3</sub> N/100. δ) NaOH+NaCl 0,1, 0,5, 1N είς NaOH μὲν κυμαίνομενα ποσά NaCl.

(\*) Διπλωματική έργασία. Έκφράζονται εύχαρισταί πρός τὸν Υφηγητὴν κ. Θ. Ν. ΣΚΟΥΛΙΚΙΑΝΗΝ, διά τὴν καθοδήγησιν τῆς μελέτης κατὰ τὴν ἀπουσίαν τοῦ καθηγητοῦ.

Αἱ πιεραματικαὶ μετρήσεις τελοῦνται κατὰ σειρὰν ὡς ἔξης: ως ρύμασις τῆς θερμοκρασίας τῆς συσκευῆς, εἰσαγωγὴ τοῦ διαλύματος NaOH εἰς τὴν φιάλην, προσθήκη τοῦ AgCl καὶ σύγχρονος ἔνας ξεινοῖς μετρήσεως χρόνου, διεγματοληψία καθ' ὅρισμένα χρονικὰ διαστήματα, ἀνάπλησις τοῦ ἀφαιρεθέντος διεγματος δι' ίσου ποσοῦ διαλύματος NaOH μὲν NaCl, ἀντιτούχου πρός τὸ κατὰ τὴν σιγμήν ταύτην ἐν τῷ διέγματι περιεχόμενον, ἔξαδετέρωσις τῶν διεγμάτων διὰ CH<sub>3</sub>COOH N/2, προσδιορισμὸς τῶν Cl<sup>-</sup> κατὰ Mohr μὲν N/100AgNO<sub>3</sub> καὶ διεκτηνή K<sub>2</sub>CrO<sub>4</sub> καὶ τέλος ἀναγωγὴ τῶν ἀποτελεσμάτων εἰς σχηματισθέν AgOH %.

Βάσει τῶν τριῶν θεμελιωδῶν παραγόντων τῶν ρυθμίζοντων τὴν ταχύτητα τῆς ὑπὲρ ἀντιδράσεως, ἢτοι τῆς θερμοκρασίας, τῆς ἐπιφανείας προσθιολῆς καὶ τῆς συγκεντρώσεως τοῦ NaOH, αἱ μετρήσεις διέρθεσαν εἰς τρεις σειράς. Ἐπ. προκαταρκτικῶν μετρήσεων ἐπὶ διάστης σειρᾶς προέκυψεν, ὅτι κατάλληλοι θερμοκρασίαι διὰ μετρήσεις είναι ἀπὸ 30°—80°C, συγκεντρώσεις ἀλλάσσεις αἱ 0,1, 0,5, 1N, ὡροί κοι δὲ οἱ ἀπὸ 0,5—1mm, 0,1—0,2 mm καὶ 0—0,06 mm.

Ἐπίσης διὰ τὸ συγκριτικὸν τῶν ἀποτελεσμάτων ἐλήφθησαν α). τὸ αὐτὸν ποσόν AgCl (1gr). β) Περίσσεια NaOH τοῦ κατὰ τὴν ἀντιδρασιν στοιχειομετρικῶν ἀπαιτούμενου. γ) Ὁ αὐτὸς ὅγκος διαλύματος (100 cm<sup>3</sup>).

### Μετρήσεις

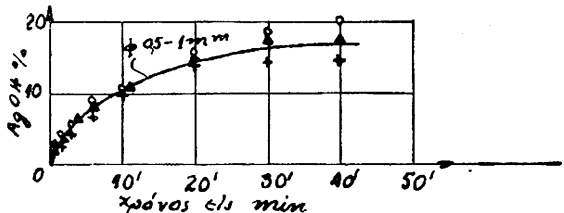
#### Α' Σειρὰ μετρήσεων.

Σταθεραὶ: Συγκέντρωσις NaOH: 1N, ὅγκος: 100cm<sup>3</sup>. Επιφάνεια προσθιολῆς 1gr. AgCl: 25,3 cm<sup>3</sup>/gr. (σφαιρικὴ ἔξιδανικεμένη ἐπιφάνεια κόκκων διαμέτρου 10mm πρός τὴν μέσην τετραγωνικῆν διάμετρον).

Μεταβλητὴ: Ἡ θερμοκρασία. Ὡς θερμοκρασίαι μετρήσεως ἔκλιγονται αἱ ἔξης: 28°±1°C, 40°±1°C, 50°±1°C, 60°±1°C, 70°±1°C, 80°±1°C.

Χρόνοι διεγματοληψίας μετὰ 0,5', 1,5', 3', 6', 10', 20', 30', 40', 50', 60'.

Τὰ ἀποτελέσματα ἐμφαίνονται εἰς τὰ διαγράμματα 1—7.



Διάγραμμα 1

#### Β. Σειρὰ Μετρήσεων.

Σταθεραὶ: Συγκέντρωσις NaOH: 1N, ὅγκος: 100cm<sup>3</sup>, θερμοκρασία: 40°±1°C, ποσόν AgCl: 1gr.

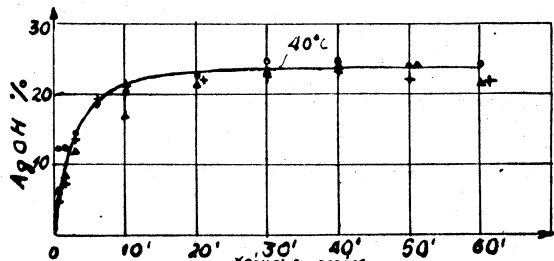
Μεταβλητὴ: Ἡ επιφάνεια προσθιολῆς. Ἐγένοντο μετρήσεις ἐπὶ κόκκων ἀπὸ φ 0,5—1 mm (18,1 cm<sup>3</sup>/gr), φ 0,1—0,2 mm (67,8 cm<sup>3</sup>/gr) καὶ φ 0—0,06mm (263cm<sup>3</sup>/gr). Χρόνοι οἱ τῆς πρώτης σειρᾶς. Τὰ ἀποτελέσματα ἐμφαίνονται εἰς τὰ διαγράμματα 8—11.

#### Γ' Σειρὰ Μετρήσεων.

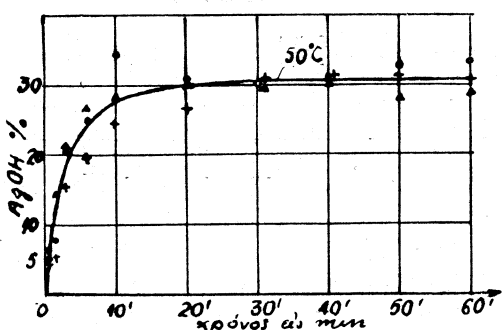
Σταθεραὶ: Θερμοκρασία: 80°±1°C, Επιφάνεια

προσβολής : 1gr AgCl (25.4 cm<sup>2</sup>/gr), "Ογκος διαλύματος NaOH : 100 cm<sup>3</sup>.

**Μεταβλητή :** Συγκέντρωσις του NaOH. Εγένοντο μετρήσεις: επί διαλυμάτων NaOH 0,1 N, 0,5 N, 1N.



Διάγραμμα 2

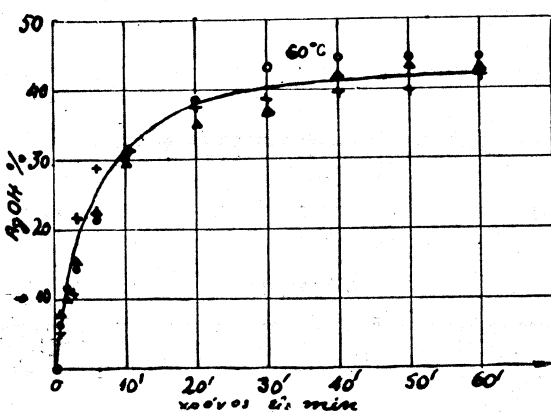


Διάγραμμα 3

Χρόνοι διεγματοληψίας οι της Α' Σειρᾶς.  
Τὰ ἀποτελέσματα ἐμφαίνονται εἰς τὰ διαγράμματα 12—15.

**Θεωρητική ἐπεξεργασία τῶν πειραματικῶν δεδομένων**

Παραμελοῦντες τὴν δέριον φάσιν ἔχομεν ἐν σύστημα τεσσάρων (4) συστατικῶν (AgCl, NaOH, AgOH, NaCl, H<sub>2</sub>O —άριθμὸς ἔξισώσεων 1) εἰς τρεῖς (3) φάσεις (1).



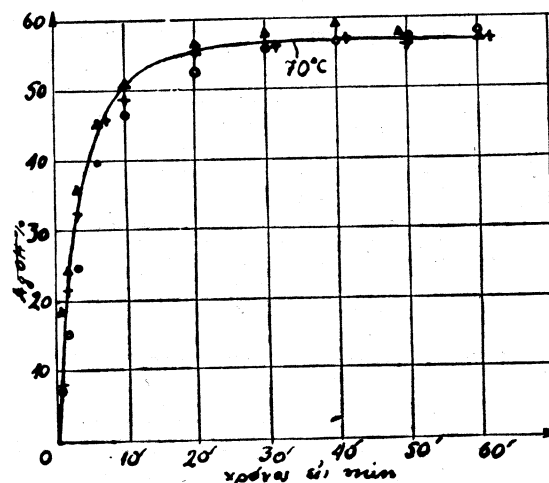
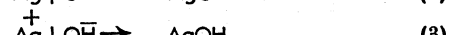
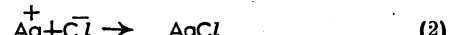
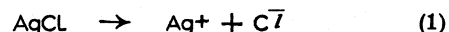
Διάγραμμα 4

ἄρα δ βαθμὸς ἐλευθερίας τοῦ συστήματος είναι  $F=2$ , ( $P+F=n+1$ ), συνεπῶς ὁρίζομένης τῆς  $[OH^-]$  καὶ τῆς θερμοκρασίας ὅριζεται ὑπὸ τοῦ συστήματος ἡ  $[Cl^-]$ , ἵνα συνυπάρχουν αἱ τρεῖς φάσεις. Φθάνομεν δὲ εἰς ίσορρο-

πίαν, διταν  $\frac{[OH^-]}{[Cl^-]} = \frac{L_2}{L_1}$ , ἐνθα  $L_1$ ,  $L_2$  τὰ γινόμενα δια-

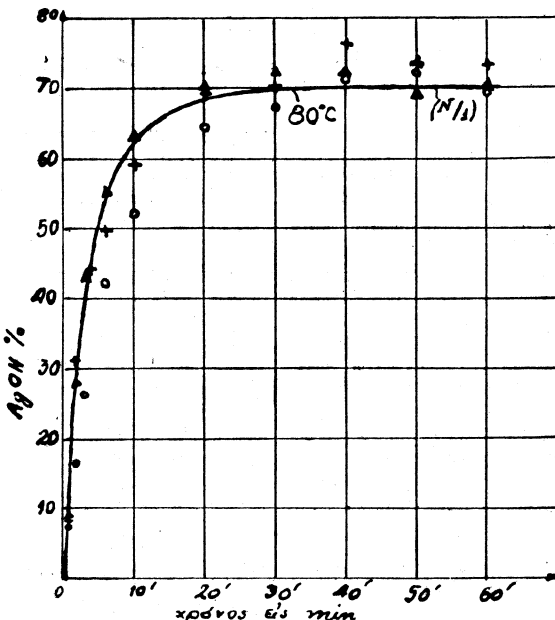
λυτότητος τῶν AgCl καὶ AgOH ἀντιστοίχως.

Κατὰ τὴν ἀντίδρασιν  $AgCl + OH^- = AgOH + Cl^-$  δύνανται νὰ λαμβάνουν χώραν αἱ κάτωθι τέσσαρες μερικαὶ ἀντιδράσεις :



Διάγραμμα 5

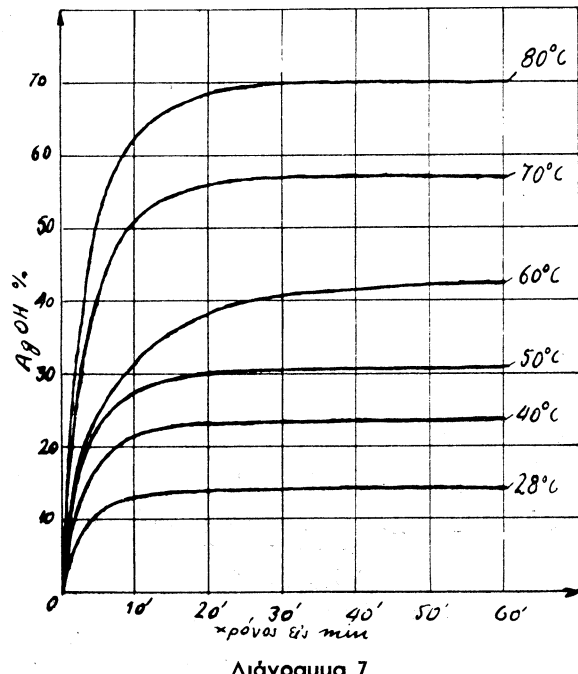
Εἰς τὴν σειρὰν αὐτὴν τῶν ἀντιδράσεων ὁ σχηματι-



Διάγραμμα 6

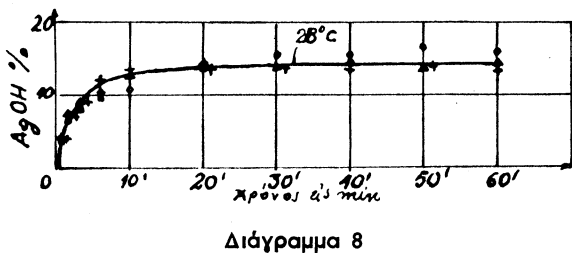
σμὸς ίοντων  $Ag^+$  ἀποτελεῖ ἐνδιάμεσον φάσιν καὶ ἡ συγκέντρωσις τοῦ  $[Ag^+]$  παραμένει χρονικῶς ἀμετάβλητος, ητοι  $\frac{d[Ag^+]}{dt} = 0$ .

Αλλά  $\frac{d[\text{Ag}^+]}{dt} = \text{ταχύτης σχηματισμοῦ Ag} - \text{ταχύτης δεσμεύσεως Ag}^+ \text{ ή } \frac{d[\text{Ag}^+]}{dt} = (K_1 F_1 + K_4 F_4) - (K_2 [\text{Ag}^+] [\text{Cl}^-] + K_3 [\text{Ag}^+] [\text{OH}^-]) = 0,$

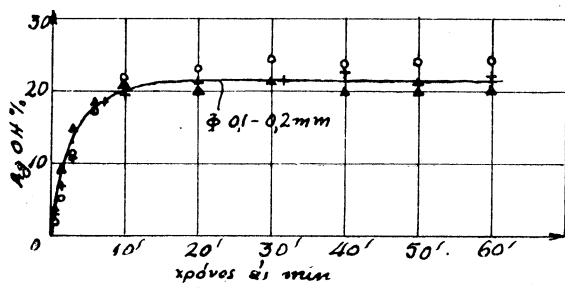


Διάγραμμα 7

ενθα  $K_1, K_2, K_3, K_4$  αί ἀντίστοιχοι σταθεραὶ ταχύτητος τῶν ἀντιδράσεων (1), (2), (3), (4) καὶ  $F_1, F_4$  αἱ



Διάγραμμα 8



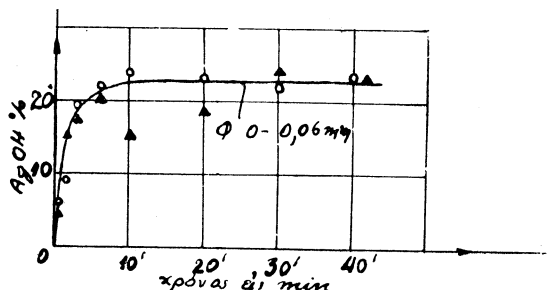
Διάγραμμα 9

ἐπιφάνειαι  $\text{AgCl}$  καὶ  $\text{AgOH}$  ἀντιστοίχως. Ἐκ τῆς ἀνασχέσεως προκύπτει

$$[\text{Ag}^+] = \frac{K_1 F_1 + K_4 F_4}{K_3 [\text{Cl}^-] + K_2 [\text{OH}^-]} \quad (5)$$

Ἐξ ἄλλου, ἡ ταχύτης σχηματισμοῦ  $\text{AgOH}$  εἶναι :

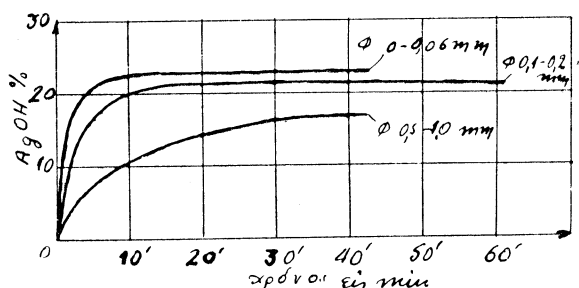
$$\frac{d[\text{AgOH}]}{dt} = \frac{d[\text{Cl}^-]}{dt} = K_3 [\text{Ag}^+] [\text{OH}^-] - K_4 F_4$$



Διάγραμμα 10

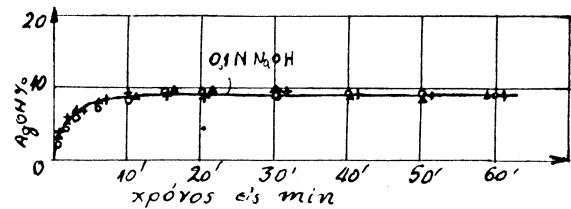
Ἀντικαθιστῶντες τὸ  $[\text{Ag}^+]$  ἐκ τῆς (5) λαμβάνομεν διὰ τὴν ταχύτητα

$$\frac{d[\text{AgOH}]}{dt} = \frac{K_1 K_3 F_1 [\text{OH}^-] - K_2 K_4 F_4 [\text{Cl}^-]}{K_3 [\text{Cl}^-] + K_2 [\text{OH}^-]} \quad (6)$$



Διάγραμμα 11

Χρησιμοποιοῦντες περίσσειαν  $\text{NaOH}$  ἐπιτυγχάνομεν  $[\text{OH}^-] \approx$  σταθ.



Διάγραμμα 12

Θεωροῦντες τὸ  $F_1$  σταθερὸν λόγῳ σχηματισμοῦ στρώματος  $\text{AgOH}$  μικροῦ πάχους καλύπτοντος τὸν  $\text{AgCl}$  καὶ τὸ  $F_1$  σταθερὸν ὡς ἵσον πρὸς τὸ ἀρχικὸν  $F_1$ , λαμβάνομεν

$$\frac{d[\text{AgOH}]}{dt} = \frac{d[\text{Cl}^-]}{dt} = \frac{a-b[\text{Cl}^-]}{a+b[\text{Cl}^-]}$$

$$a = \frac{K_1 K_3}{K_2} F_1 [\text{OH}^-] \quad (7)$$

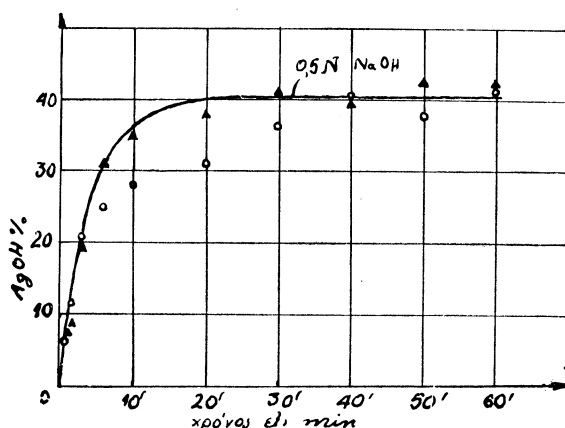
$$b = K_4 F_4 \quad (8)$$

$$d = \frac{K_3}{K_2} [\text{OH}^-] \quad (9)$$

ενθα

Θέτοντες  $x = [C/I]$  λαμβάνομεν

$$\frac{dx}{dt} = \frac{a-bx}{a+bx} \quad (10)$$

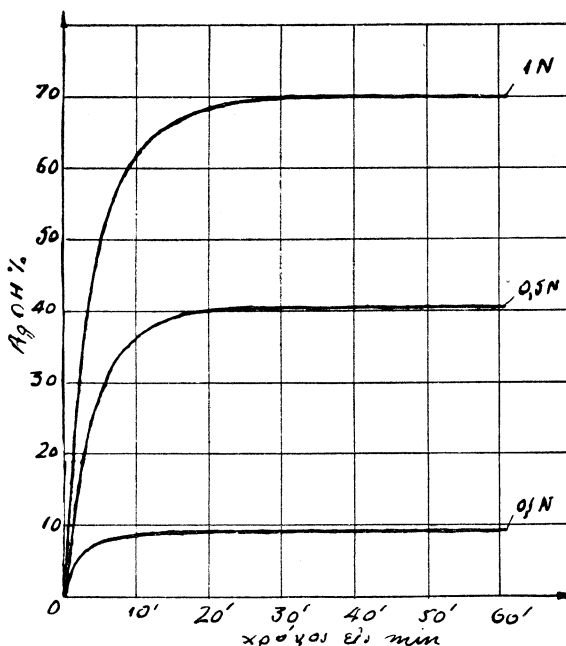


Διάγραμμα 13

Η λύσις της διαφορικής έξισώσεως (10)

είναι ή  $(a + b d) \ln \frac{a}{a-bx} - bx = b^2 t \quad (11)$

Αἱ σταθεραὶ  $a$ ,  $b$ ,  $d$  τῆς ἔξισώσεως (11) προσδιορίζονται ως ἔξης :



Διάγραμμα 15

A) Εάν  $t \rightarrow 0$  καὶ  $x \rightarrow 0$

Τότε ἐκ τῆς (11) προκύπτει

$$x = \frac{a}{d} t \text{ ή } v = \left( \frac{dx}{dt} \right)_{t \rightarrow 0} = \frac{a}{d} \quad (12)$$

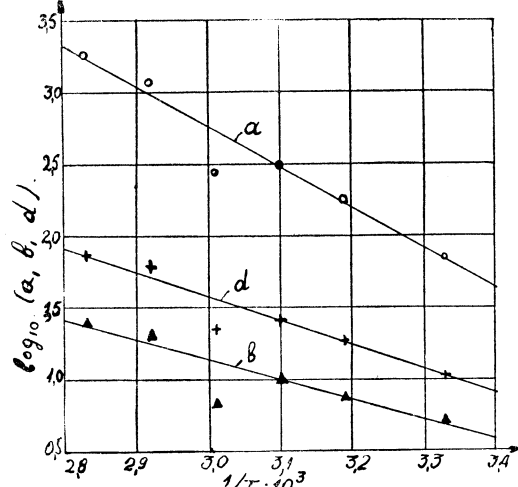
B) Εάν  $t \rightarrow \infty$

Τότε ἐκ τῆς (11) προκύπτει  $I = (X)_{t \rightarrow \infty} = \frac{a}{b} \quad (13)$

Γ) Εκ τοῦ χρόνου ήμισείας ζωῆς :

$$\text{ήτοι διὰ } x' = \frac{(x)_{t \rightarrow \infty}}{2} = \frac{1}{2} \cdot \frac{a}{b} \text{ προκύπτει ἐκ τῆς (11)}$$

$$r = t_{\frac{x}{2}} = \frac{a}{b^2} (ln 2 - 1/2) + \frac{d}{b} ln 2 \quad (14)$$



Διάγραμμα 16

Ἐκ τῶν (12), (13), (14), δι’ ἐπιλύσεως ως πρὸς  $a$ ,  $b$ ,  $d$ ,  $v$  εὐρίσκομεν :

$$a = e^2 z \quad (15)$$

$$b = e \cdot z \quad (16)$$

ἔνθα  $z = \frac{\ln 2 - 1/2}{r - \frac{e}{v} \ln 2}$   
 $d = \frac{e^2}{v} \cdot z \quad (17)$

Ἐκ τῶν πειραματικῶν καμπύλων προσδιορίζονται τὰ  $e$ ,  $v$  καὶ  $r$  καὶ διὰ τῶν (15), (16), (17) τὰ  $a$ ,  $b$  καὶ  $d$ , ως ἐμφαίνεται εἰς τὸν πίνακα I.

Αἱ κατ’ αὐτὸν τὸν τρόπον προσδιορισθεῖσαι σταθεραὶ  $a$ ,  $b$ ,  $d$  ἀπόδιδονται εἰσαγόμεναι εἰς τὴν ἔξισωσιν (11) τὰς πειραματικὰς καμπύλας μὲν μεγάλην προσέγγισιν. Βάσει τῶν σταθερῶν αὐτῶν καὶ τῆς (11) ἔχαραχθησαν αἱ καμπύλαι τῶν διαγραμμάτων. (Σύγκρινε πειραματικὰ σημεῖα μὲν θεωρητικὴν καμπύλην εἰς τὰ διαγράμματα 1–6, 8–10, 12–14).\*

Αἱ πειραματικαὶ σταθεραὶ  $a$ ,  $b$ ,  $d$  τοῦ πίνακος I μεταβάλλονται μετὰ τῶν  $T^\circ$ ,  $F$  (ἐπιφανείας προσβολῆς) καὶ  $[OH^-]$  ως εἰς τὸν πίνακα II.

Ἐκ τοῦ πίνακος II καὶ ἐκ τῶν ἔξισώσεων (7), (8), (9) τῆς θεωρίας παρατηρεῖται συμφωνία μεταξὺ πειραματος καὶ θεωρίας ως πρὸς τὴν μεταβολὴν τῶν  $a$ ,  $b$ ,  $d$ . Η ἀριθμητικὴ ἀντιστοιχία δὲν είναι μὲν ἀπόλυτος, ἀλλὰ ἵκανοποιητικὴ ἐντὸς τῶν πλαισίων τῶν πειραματικῶν σφαλμάτων, ως ἐμφαίνεται εἰς τοὺς πίνακας III, IV.

\* Τὸ διάγραμμα 14 είναι τὸ αὐτό μὲν τὸ διάγραμμα 6.

## ΠΙΝΑΞ I.

| t°C   | e    | v    | r    | $\frac{e}{v} \ln 2$ | $r - \frac{e}{v} \ln 2$ | z     | b     | a      | d    |
|-------|------|------|------|---------------------|-------------------------|-------|-------|--------|------|
| 28    | 14,2 | 6,7  | 2,00 | 1,46                | 0,54                    | 0,352 | 5,00  | 71,0   | 10,6 |
| 40    | 23,5 | 9,7  | 2,25 | 1,65                | 0,60                    | 0,317 | 7,43  | 174,5  | 18,0 |
| 50    | 30,6 | 12,6 | 2,25 | 1,68                | 0,57                    | 0,333 | 10,20 | 312,0  | 25,2 |
| 60    | 42,0 | 12,6 | 3,50 | 2,32                | 1,20                    | 0,158 | 6,54  | 278,0  | 22,0 |
| 70    | 57,2 | 20,0 | 2,50 | 1,97                | 0,53                    | 0,358 | 20,50 | 1170,0 | 58,5 |
| 80    | 70,0 | 24,0 | 2,50 | 1,97                | 0,53                    | 0,358 | 25,00 | 1750,0 | 73,0 |
| Φ mm  |      |      |      |                     |                         |       |       |        |      |
| 0,5-1 | 18,0 | 3,5  | 7,00 | 3,55                | 3,45                    | 0,055 | 0,99  | 17,9   | 5,10 |
| 01-02 | 22,0 | 14,0 | 2,00 | 1,08                | 0,92                    | 0,207 | 4,55  | 100,0  | 7,14 |
| 0-006 | 23,5 | 35,0 | 1,00 | 0,49                | 0,51                    | 0,373 | 8,76  | 206,0  | 5,90 |
| [OH]  |      |      |      |                     |                         |       |       |        |      |
| 0,1   | 9,2  | 5,5  | 1,25 | 1,15                | 0,10                    | 1,900 | 17,5  | 161    | 29,2 |
| 0,5   | 41,0 | 13,0 | 2,55 | 2,17                | 0,38                    | 0,500 | 20,5  | 840    | 64,6 |
| 1,0   | 70,0 | 24,0 | 2,50 | 1,97                | 0,53                    | 0,358 | 25,0  | 1750   | 73,0 |

## ΠΙΝΑΞ II.

|   | T° ↑ | F ↑           | [OH] ↑        |
|---|------|---------------|---------------|
| a | ↑    | ↑             | ↑             |
| b | ↑    | ↑             | περίπου σταθ. |
| d | ↑    | περίπου σταθ. | ↑             |

Είς τὸν πίνακα III ἡ μειωμένη αὐξήσις τῶν a, b, ἀπὸ κόκκους φ 0,1-0,2mm εἰς φ 0-0,06 mm δοφείλεται εἰς πιστανὴν συσσωμάτωσιν τῶν λεπτοτάτων κόκκων καὶ συνεπεῖς δόδις τῶν μὲ μικροτέρων ἐπιφάνειαν τῆς θεωρητικῶς ὑπολογισθεῖσης (253 cm³/gr). Εἰς τὸν πίνακα IV ἡ μεταβολὴ τῆς d δὲν συμφωνεῖ ἀριθμητικῶς μὲ τὴν θεωρίαν.

Αἱ ἔνεργειαι ἐνέργοιοις τῶν ἀντιδράσεων (1), (2), (3) (4) δύνανται νὰ ὑπολογισθοῦν ἐκ τῆς ὀλοκληρούμενης μορφῆς τῆς έξισώσεως τοῦ Arrhenius :

$$\log_{10} K = -\frac{Q^*}{2,303R} \cdot \frac{1}{T} + \log_{10} K_0, \text{ διότε } \text{ ἡ } \alpha\text{-λίσις } \text{ τῆς } \text{ έύθυνης } \text{ εἶναι :}$$

ΠΙΝΑΞ III.  
Μεταβολὴ τῶν a, b, d μετά τῆς ἐπιφανείας.

| Φ εἰς m.m. | Θεωρητικὸν Fcm³/gr | Πειραματικὸν a  | Πειραματικὸν b   | Πειραματικὸν d |
|------------|--------------------|-----------------|------------------|----------------|
| 0,5-1      | 18,1<br>1 : 5,17   | 17,9<br>1 : 5,6 | 0,99<br>1 : 4,6  | 5,10 ἀντὶ      |
| 0,1-0,2    | 67,8<br>1 : 3,74   | 100<br>1 : 2,06 | 4,55<br>1 : 1,92 | 7,14 σταθ.     |
| 0-0,06     | 253,0              | 206             | 8,76             | 5,90           |

## ΠΙΝΑΞ IV.

Μεταβολὴ τῶν a, b, d μετά τῆς συγκεντρώσεως τῶν OH⁻

| [OH]⁻        | Πειραματικὸν a | Πειραματικὸν b | Πειραματικὸν d    |
|--------------|----------------|----------------|-------------------|
| 0,1<br>1 : 5 | 161<br>1 : 4,4 | 17,5           | 29,27<br>1 : 2,13 |
| 0,5<br>1 : 2 | 840<br>1 : 2,1 | 20,5           | 64,6<br>1 : 1,18  |
| 1,0          | 1750           | 25,0           | 73,0              |

\*Εφαρμόζοντες αὐτὴν διὰ τὰς (7), (8), (9) λαμβάνομεν διὰ τὰς αλλίσεις

$$\begin{aligned} \frac{d \log a}{d(1/T)} &= -\frac{Q_a^*}{2,3R} = \frac{d \log K_1}{d(1/T)} + \frac{d \log K_s}{d(1/T)} - \frac{d \log K_2}{d(1/T)} \\ &= -\frac{Q_1^*}{2,3R} + \frac{-Q_s^*}{2,3R} - \frac{-Q_2^*}{2,3R} \end{aligned} \quad (18)$$

$$\frac{d \log b}{d 1/T} = -\frac{Q_b}{2,3R} = \frac{d \log K_4}{d 1/T} = -\frac{Q_4}{2,3R} \quad (19)$$

$$\begin{aligned} \frac{d \log d}{d 1/T} &= -\frac{Q_d^*}{2,3R} = \frac{d \log K_3}{d 1/T} - \frac{d \log K_2}{d 1/T} = \\ &= -\frac{Q_3^*}{2,3R} - \frac{Q_2^*}{2,3R} \end{aligned} \quad (20)$$

Έκ τῶν α, β, δ τοῦ πίνακος Ι λαμβάνομεν τὸν πίνακα V.

## ΠΙΝΑΞ V

| t°C | T°K | 10 <sup>8</sup> /T | log a  | log b  | log d  |
|-----|-----|--------------------|--------|--------|--------|
| 28  | 301 | 3,33               | 1,8513 | 0,6990 | 1,0253 |
| 40  | 313 | 3,19               | 2,2418 | 0,8710 | 1,2553 |
| 50  | 323 | 3,10               | 2,4942 | 1,0086 | 1,4005 |
| 60  | 333 | 3,01               | 2,4440 | 0,8156 | 1,3424 |
| 70  | 343 | 2,92               | 3,0682 | 1,3118 | 1,7672 |
| 80  | 353 | 2,83               | 3,2430 | 1,3979 | 1,8633 |

Έκ τῶν πίνακος V λαμβάνομεν τὸ διάγραμμα 16.

Έκ τῶν διαγράμματος τούτου ὑπολογίζονται αἱ κλίσεις καὶ ἐξ αὐτῶν ἐκ τῶν (18), (19) (20) εὑρίσκονται

$$t\alpha \quad Qa = 13,4 \text{ Kcal/mol} \quad Qb = 6,5 \text{ Kcal/mol}$$

$$Qd = 7,8 \text{ Kcal/mol}$$

Ἐκ αὐτῶν, ἐκ τῶν (18), (19), (20) καὶ ἐκ τῆς  $QAgCl = Q_1^* - Q_2^* = 15,86 \text{ Kcal/mol}$  ( $QAgCl = \text{θερμότης διαλύσεως τοῦ AgCl}$ ) ἐκ τῆς βιβλιογραφίας (2) προκύπτουν αἱ ἐνέργειαι ἐνεργοποιήσεως :

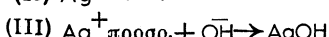
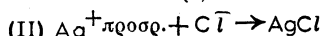
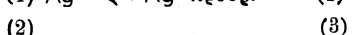
$$Q_1^* = 5,6 \text{ Kcal/mol} \quad Q_2^* = -10,26 \text{ Kcal/mol}$$

$$Q_4^* = 6,5 \quad \rightarrow \quad Q_3^* = -2,46 \quad \rightarrow$$

Αἱ ἀρνητικαὶ τιμαὶ τῶν ἐνεργειῶν ἐνεργοποιήσεως  $Q_2^*$ ,  $Q_3^*$  τῶν ἀντιδράσεων (2), (3) δικαιολογοῦνται ὡς ἐξῆς :

Ἄρχικῶς ἀναμένεται ὅπως  $Q_2^* = Q_3^* = 0$ , διότι διὰ τὴν σύνδεσιν δύο λόντων πρὸς μόριον δὲν ἀπαιτεῖται ἐνέργεια ἐνεργοποιήσεως, ἀλλ᾽ ἀρκεῖ μία ἀπλῆ σύγκρουσις αὐτῶν. Ἀρνητικὴ δῆμως τιμὴ σημαίνει ἐλάττωσιν τῆς ταχύτητος αὐτιδράσεως μὲν αὐξῆσιν τῆς θερμοκρασίας, ἀντὶ καὶ ἡ ταχύτης αὐτῆσεως τῶν λόντων εἰς τὸ διάλυμα αὐξάνει, συνεπῶς δλα τὰ συγκρούσμενα λόντα δὲν συνδέονται πρὸς μόριον ἀλλὰ μόνον τὰ βραδέα, ἢ τὰ ἐχόδηντα εἰς τριπλῆν σύγκρουσιν (3).

Ἐπὶ τῇ βάσει τοῦ ἀνωτέρῳ δυνάμεθα νὰ δεχθῶμεν, διότι τὰ  $Ag^+$  πρὸς τῆς μετὰ τῶν  $OH^-$  ή  $C\bar{l}$  συνδέσεως καὶ εἰσαγωγῆς τῶν εἰς τὸ κρυσταλλικὸν πλέγμα προσδοφῶνται ἐπὶ τοῦ πλέγματος καὶ ἀκολούθως συνδέονται, διότε αἱ ἀντιδράσεις (2) καὶ (3) ἀναλύονται εἰς τὰς ἐξῆς :



Έκ τῆς (I) ἐπεται, διότι  $Ag^+ \text{ προσδ.} = k_1 (Ag^+)$  (21)

ἐνθα  $k_1 = e^{\frac{Q_1}{RT}}$  (22) ( $k_1 = \sigma \tau \alpha \theta$ . Ισορροπίας,  $Q_1 = \text{θερμότης προσδοφήσεως}$ ). Τότε ἡ ταχύτης τῆς (II) θὰ εἰναι

$U_{II} = K_{II} [Ag^+] \rho_{AgCl} [C\bar{l}]$ . Εκ τῶν (21) καὶ (22) δι' ἀντικαταστάσεως

$$U_{II} = K_{II} K_1 [Ag^+] [C\bar{l}] = K_{II} \cdot e^{\frac{Q_1}{RT}} [Ag^+] [C\bar{l}] \quad (23)$$

Όμοιως διὰ τὴν (III)

$$U_{III} = K_{III} \cdot e^{\frac{Q_1}{RT}} [Ag^+] [OH^-] \quad (24)$$

Συνεπῶς, λόγῳ τοῦ ὅρου  $e^{\frac{Q_1}{RT}}$  αἱ ταχύτητες  $U_{II}$ ,

$U_{III}$  ἐλαττούνται, διατὸν ἡ θερμοκρασία αὐξάνῃ (ἐλάττωσις τῆς προσδοφήσεως μετὰ τῆς θερμοκρασίας). Πράγματι, λοιπόν, ἀντιδροῦν μόνον τὰ βραδέα  $Ag^+$ , διότι μόνον αὐτὰ προσδοφῶνται.

Αἱ σταθεραὶ ταχύτητος  $K_{10}$ ,  $K_{20}$ ,  $K_{30}$ ,  $K_{40}$  (δι' ἄπειρον  $T^0$ , ὑπὸ τὴν προϋπόθεσιν διτὸ τὸ θεωρούμενον σύστημα ἔξαλον υποθεῖται) δύνανται νὰ ὑπολογισθοῦν ὡς ἐξῆς : Έκ τῶν σχέσεων

$$\log_a = -\frac{Qa^*}{2,3R} \cdot \frac{1}{T} + \log a_0, \quad \log b = -\frac{Qb^*}{2,3R} \cdot \frac{1}{T} +$$

$$+\log b_0, \quad \log = -\frac{Qd^*}{2,3R} \cdot \frac{1}{T} + \log d_0,$$

καὶ ἐκ τῶν διαγράμματος  $(\log (a, b, d) / T)$  διὰ  $1/T \rightarrow 0$  λαμβάνομεν

$$\log a_0 = 11,495, \quad \log b_0 = 5,405, \quad \log d_0 = 6,660, \quad \delta \pi \tau \epsilon : \\ a_0 = 3,13 \cdot 10^{11}, \quad b_0 = 2,55 \cdot 10^5, \quad d_0 = 4,58 \cdot 10^6.$$

Έκ τῆς βιβλιογραφίας (4\*) εὑρίσκομεν, διτὸ τὸ γινόμενον διαλυτότητος

$$LAgCl = \frac{K_1}{K_2} = 9,4 \cdot 10^{-11} (t^0 = 16^\circ C),$$

ἔξι ἀλλού θερμότης διαλύσεως  $QAgCl = 15,86 \text{ kcal/mol}$ , ἀριθμὸς ἐκ τῆς σχέσεως

$$\log \frac{K_1}{K_2} = \frac{-15,86}{2,31,987} \frac{10^8}{289} + \log \frac{K_1}{K_2} \text{ εὑρίσκομεν } \frac{K_{10}}{K_{20}} = \\ = 0,94 \cdot 10^9, \quad \text{ἔξι αὐτῆς καὶ ἐκ τῶν}$$

$$a_0 = \frac{K_{10} K_{20}}{K_{20}} \cdot F \cdot [OH^-] = 3,13 \cdot 10^{11},$$

$$b_0 = K_4 F_4 = 2,55 \cdot 10^5 \quad \text{καὶ } d_0 = \frac{K_{20}}{K_{20}} [OH^-] = 4,58 \cdot 10^6$$

ἀναλόγων πρὸς τὰς (7) (8) (9) θέτοντες  $F_1 = F_4 = 25,3 \text{ cm}^2/\text{gr}$  καὶ  $[OH^-] = 0,9645 (\Sigma \Delta. N/I NaOH)$  ὑπολογίζομεν τὰ  $K_{10}$ ,  $K_{20}$ ,  $K_{30}$ ,  $K_{40}$ , εὑρίσκομεν δέ :

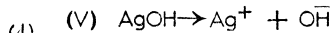
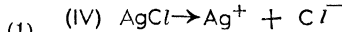
$$K_{10} = 2,70 \cdot 10^8 \quad K_{20} = 2,88 \cdot 10^1$$

$$K_{40} = 1,01 \cdot 10^4 \quad K_{20} = 1,37 \cdot 10^8$$

Αἱ εὑρεθεῖσαι τιμαὶ τῶν σταθερῶν ταχύτητος  $K_{20}$  τῶν ἀντιδράσεων (2) καὶ (3) εἰναι δύντως τὰξεως μικροτέρας τῆς τῶν  $10^{11}$ , ὡς ἀνεμένετο, ἐκ τοῦ διτοῦ αἱ συγκρούσεις τῶν λόντων δὲν δηγοῦν εἰς σχηματισμὸν μορίων.

Ἐξ ἀλλού, αἱ μικραὶ τιμαὶ τῶν  $K_{10}$ ,  $K_{40}$  τῶν (1) καὶ (4) ὡς πρὸς τὰς τῆς ταξεως τῶν  $10^{14}$  (ουχινότης δονήσεως τῶν λόντων εἰς τὸ πλέγμα) δικαιολογοῦνται ἐκ τοῦ διτοῦ κάθε δόνησις δὲν εἰναι ἀναγκαῖον νὰ δῆγηται εἰς σχηματισμὸν λόντων, συγκρόνως δὲ δικαιολογοῦν τὴν ὑπόθεσιν τῆς προσδοφήσεως τῶν  $Ag^+$  τῶν προερχομένων ἐκ

τῶν (1) καὶ (4), αῖτινες οὕτω συμπληροῦνται ὡς ἔξῆς :



\*Ἐξ ὅλων τῶν ἀντιδράσεων βραδυτέρα καὶ συνεπῶς οὐθιμέζουσα τὴν ταχύτητα τῆς ὅλης ἀντιδράσεως είναι ἡ (IV).

### Συμπεράσματα.

α) Αὐξανομένης τῆς συγκεντρώσεως τοῦ NaOH, ἡ ταχύτης τῆς ἀντιδράσεως  $\left(\frac{dx}{dt}\right)_{t \rightarrow 0}$  αὐξάνει.

β) Αὐξανομένης τῆς συγκεντρώσεως τοῦ NaOH, ἡ ταχύτης αὐξάνει.

γ) Αὐξανομένης τῆς ἐπιφανείας προσβολῆς, ἡ ταχύτης αὐξάνει.

δ) Ἡ ἀντιδράσης δὲν τελεῖται 100 %, ἀλλὰ ἀποκαθίσταται ίσορροπία, τὸ σημεῖον τῆς δύοις μετατίθεται πρὸς τὸ AgOH αὐξανομένης τῆς θερμοκρασίας ἢ τῆς συγκεντρώσεως τοῦ NaOH.

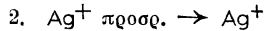
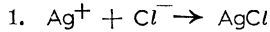
ε) Βάσει τῶν ἐνεργειῶν ἐνεργοποίησεως καὶ τῶν σταθερῶν ταχύτητος, προκύπτει ὁ κάτωθι μηχανισμός τῆς ἀντιδράσεως :

I.  $\text{AgCl} \rightarrow \text{Ag}^+ + \text{Cl}^-$  (πεπερασμένης ταχύτητος)

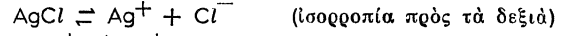
II.  $\text{Ag}^+ \rightarrow \text{Ag}^+$  προσρ. (ἀπεριορίστως ταχεῖα)

III.  $\text{Ag}^+ \text{ προσρ.} + \text{OH}^- \rightarrow \text{AgOH}$  (ταχυτάτη)

Συγχρόνως, λόγῳ τῆς πιστοποιηθείσης τελικῆς Ισορροπίας ὑπὸ συμβιάνοντος καὶ τὰ ἔξης :



\*Ωστε τελικῶς :



### ΒΙΒΛΙΟΓΡΑΦΙΑ

1\*. Kolloid Zeitschrift Band 104, Heft I (1943).

Kinetik der Umfällung, Von G. M. S. SCHWAB und SCHWAB—AGALDIS.

2\*. Landolt — Börnstein, Physikalischen Tabellen.

3\*. Θ. N. Σκουλικίδη : «Ἡ δομὴ τῶν ἀτόμων καὶ τῶν μορίων—Φωτοχημεία», κατὰ τὰς παραδόσεις τοῦ Καθηγητοῦ Γ. Σβάτη, 1952.

4\*. Landolt — Börnstein, Physikalischen Tabellen.

Prutton and Maron, «Physical Chemistry».

Eggert et Hock, «Traité de Chimie Physique».

Glasstone «Physical Chemistry».

## ΚΤΙΡΙΟΛΟΓΙΚΗ ΚΑΙ ΟΙΚΟΔΟΜΙΚΗ ΜΕΛΕΤΗ ΤΩΝ ΚΕΝΤΡΩΝ ΑΙΜΟΔΟΣΙΑΣ (ΤΡΑΠΕΖΩΝ ΑΙΜΑΤΟΣ)

Υπό Z. TZAPTZANOY, Αρχιτέκτονος, Επιμ. ἐν τῷ Εθνικῷ Μετσοβίῳ Πολυτεχνείῳ  
καὶ Δρος Μ. ΠΑΓΙΔΟΥΣΗ, Ιατροῦ, Διτοῦ τοῦ Δευτέρου Κέντρου Αιμοδοσίας  
«Υπουργείου Κοιν. Προνοίας (Λαϊκοῦ Νοσοκομείου)

### ΕΙΣΑΓΩΓΗ

Αἱ ἐπιστημονικαὶ καὶ τεχνικαὶ πρόοδοι, αἱ ὅποιαι ἐπραγματοποιήθησαν κατὰ τὴν τελευταίαν πεντηκονταετίαν, κατέστησαν τὴν μετάγγισιν τοῦ αἵματος ἀπαραίτητην θεραπευτικὸν μέσον διὰ πλείστας λειτουργικάς καὶ παθολογικάς καταστάσεις.

Διὰ νὰ ἀποδώσῃ ἡ μετάγγισις τὴν παρ' αὐτῆς ἀναμενόμενήν ὑψηλείαν, πρέπει νὰ τηρηθοῦν ὄφισμένοι βασικῆς σημασίας κανόνες, διὰ τὴν ὑπεύθυνον τὴν ηρησιν τῶν δόποιων, ὃς ἀπεδείχθη ἐκ τῆς πρᾶξεως, ἀπαιτεῖται εἰδικῶς ὁργανωμένη ἡ πτησίσια καὶ ἔξησηκμένον προσωπικόν. Ἡ διατίστωσις αὗτη ἥτοι ἀφετηρία τῆς ὁργανώσεως καὶ ἀναπτύξεως τῶν λεγομένων «Τραπέζων αἵματος», αἱ δόποια σημεροῦν θεωροῦνται ἀπὸ τὰ μεγαλύτερα ιατρικά ἐπίτευγματα τῶν τελευταίων ἐτῶν (¹).

Ο θεσμὸς τῶν «Τραπέζων αἵματος», ἐπεκράτησεν ἀπὸ ἐτῶν εἰς τὴν Ἀμερικήν, ἐπεξετάθη δὲ ἦδη εἰς τὴν Εὐρώπην.

Ο δρός «Τραπέζα αἵματος» (Blood Bank) χοησμοποιεῖται ἐν Ἀμερικῇ πάντα τὴν ἔννοιαν ὅτι, ὅπως οἱ ὄμωνυμοι οἰκονομικοὶ ὁργανισμοί, οὔτω καὶ ἡ Τραπέζα αἵματος λειτουργεῖ βάσει καταθέσεων εἰς αἷμα. Πᾶσα ἀνάληψις αἵματος προϋποθέτει ἀντικατάστασιν τούτου, διὰ νὰ ἔξασφαλίζεται σταθερά παρακαταθήκη.

Παρότι ἡ προστάθη ἡ χρησιμοποίησις τοῦ ὅρου «Ταμεῖον Αἵματος» (K. Αλιβιζάτος, N. Σματασούνης), ἡ δὲ XVIIη Διεθνῆς Συνδιάσκεψις τοῦ Ἐρυθροῦ Σταυροῦ (1952) ἀπεράσιεν, ὅτι πρέπει νὰ προτιμηθοῦν οἱ δρός «ὑπηρεσία» ἢ «κέντρον» διὰ τὴν ὀνομασίαν τῶν ὁργανώσεων τῆς αἵμαδοσίας.

\*Ασχέτως τῆς διδομένης ὀνομασίας, εἰς τὴν τραπέζαν

αἴματος ἀντιστοιχεῖ ιατρικός ὁργανισμός δρογανισμός δρογανομένος καταλήγει ἐξωπλοιμένος καὶ ὑπηρετούμενος ἀπὸ εἰδικευμένον προσωπικόν, ὃ δόποιος σκοπὸν ἔχει τὴν συγκέντρωσιν τῶν εὐθύνων διὰ τὴν λῆψιν, τὴν διατήρησιν καὶ τὴν διάθεσιν τοῦ αἵματος, δπως ἐπίσης καὶ διὰ τὴν ἐφαρμογὴν τῆς καθορισθείσης τεχνικῆς διὰ τὴν ἄνευ κινδύνων μετάγγισιν.

Σήμερον αἱ τράπεζαι αἴματος είναι ἀνεξάρτητοι ὁργανισμοί, οἱ δόποιοι ἀναλαμβάνονται τὴν ἔξυπηρέτησιν μιᾶς περιοχῆς ἢ ἀποτελοῦν τημήματα ενὸς Νοσοκομείου, Νοσοκομειακοῦ συγχροτήματος, ὑπάγονται δὲ εἰς τὸ Κράτος, εἰς τὸν Ἐρυθρόν Σταυρόν, δπου οὗτος ἔχει ἀναλάβει τὴν ἐφαρμογὴν τοῦ κρατικοῦ προγράμματος μεταγγίσεων, ἡ εἶναι ιδιωτικοὶ ὁργανισμοί.

Αἱ τράπεζαι αἴματος δὲν είναι τυποποιημέναι στατικαὶ ὁργανώσεως, ἀλλὰ διακριῶνται τελειοποιοῦνται καὶ προσαρμόζονται πρὸς τὰς συνθήκας ἑκάστου τόπου, ὃ τρόπος δὲ τῆς λειτουργίας αὐτῶν καθορίζεται ἀπὸ τὰς ἀνάγκας τὰς δόποιας πρέπει νὰ ἔξυπηρετήσουν καὶ ἀπὸ τὰς κοινωνικὰς καὶ ὀλικονομικὰς συνθήκας τῆς εἰναι τὸ γκατεστήματος (¹).

Εἰς τὴν προδοῦσαν ἐργασίαν θὰ ἀσχοληθῶμεν μὲν τὴν κτιριολογικὴν καὶ οἰκονομικὴν μελέτην τῶν «τραπέζων αἵματος» καὶ γενικῶς τῶν ὑπηρεσιῶν ἢ κέντρων αἵμαδοσίας. Ιδιαίτερος θὰ ἔξετάσμεν τὰς δυνατότητας, τὰς δόποιας πράξεων αἱ Ἑλλάδι οικονομείαι.

(1) Ἡ ἐπιτυχία τῶν «Τραπέζων Αἵματος» συνετελέσει εἰς τὴν θρησκείαν «τραπέζων» διτῶν, δέρματος, ἀρτηριῶν, ὁφθαλμῶν, εἰς διαρροέους χώρας. Αἱ τράπεζαι αἴματος δὲν θὰ ἀπασχολήσουν ήμερες, διότι στηρίζονται ἐπὶ δλλων ὁργανικῶν βίσεων καὶ δὲν χρειάζονται μεγάλας ἐγκαταστάσεις καὶ χώρους, δπως αἱ ὁργανώσεις αἵμαδοσίας.

(1) J.A.M.A. 149, 1952, σ. 1613